

CALCULATION EXAMPLES

1. Hydraulic motors, scale (1) to (7) and (29) to (32)

- a) Given: $M=38 \text{ Nm}$ (1)
 $n=1200 \text{ rev/min}$ (7)
Chosen: $p=160 \text{ bar}$ (2)
Valued: $\eta_{hm} = 95\%$ (3)
 $\eta_v = 97\%$ (5)
Searched: $V=15,7 \text{ cm}^3/\text{rev}$ (4)
 $V=16 \text{ cm}^3/\text{rev}$ (chosen)
 $Q=20 \text{ l/min}$ (6)
- b) Given: $P=18 \text{ kW}$ (32)
 $n=1450 \text{ rev/min}$ (7)
Chosen: $p=250 \text{ bar}$ (30)
Valued: $\eta_t = 95\%$ (31)
 $\eta_v = 97\%$ (5)
Searched: $Q=48 \text{ l/min}$ (6)(20)
 $V=32 \text{ cm}^3/\text{rev}$ (4)

2. Hydraulic pumps scale (4) to (7) and (29) to (32), example 1a.

- Given: $Q=20 \text{ l/min}$ (6)(29)
 $p=160 \text{ bar}$ (30)
Chosen: $V=11 \text{ cm}^3/\text{rev}$ (4)
Valued: $\eta_v = 97\%$ (5)
 $\eta_t = 92\%$ (31)
Searched: $n=1900 \text{ rev/min}$ (7)
 $P=5,7 \text{ kW}$ (32)

3. Hydraulic cylinders, scale (8) to (17)

- a) Given: $F=30 \text{ kN}$ (11)
 $H=250 \text{ mm}$ (14)
 $t=1 \text{ s}$ (16)
Chosen: $p_{th}=200 \text{ bar}$ (10)
Searched: $d=43,7 \text{ mm}$ (8)
 $d=50 \text{ mm}$ (chosen)
 $A=19,6 \text{ cm}^2$ (9)
 $V=0,49 \text{ l}$ (15)
 $Q=29,5 \text{ l/min}$ (17)
- b) Given: $F=30 \text{ kN}$ (11)
 $v=15 \text{ m/min}$ (13)
Chosen: $p_{th}=200 \text{ bar}$ (10)
Searched: $d=43,7 \text{ mm}$ (8)
 $d=50 \text{ mm}$ (chosen)
 $A=19,6 \text{ cm}^2$ (9)
 $Q=29,5 \text{ l/min}$ (12)

- c) Given: the same as 3a
 $d_1=32 \text{ mm}$ (piston rod diameter)
Searched (return stroke): $d=43,7 \text{ mm}$ (8)
 $d=50 \text{ mm}$ (chosen)
 $A=19,6 \text{ cm}^2 - 8 \text{ cm}^2 = 11,6 \text{ cm}^2$ (9)
 $V=0,29 \text{ l}$ (15)
 $t=0,59 \text{ s}$ (16) at $Q=29,5 \text{ l/min}$

4. Pressure losses in pipes, scale (18) to (26)

- a) Laminar
Given: $d=12 \text{ mm}$ (18)(24)
 $v=36 \text{ mm}^2/\text{s}$ (19)(21)
 $Q=20 \text{ l/min}$ (20)
Searched: Δp (23)
- b) Turbulent
Given: $d=20 \text{ mm}$ (18)(25)
 $v=36 \text{ mm}^2/\text{s}$ (19)(22)
 $Q=100 \text{ l/min}$ (20)
Searched: Δp (26)

Solution for 4a $d=12 \text{ mm}$ (18), $v=36 \text{ mm}^2/\text{s}$ (19), $Q=20 \text{ l/min}$ (20) "white filled", d.h., the flow is laminar. $v=36 \text{ mm}^2/\text{s}$ (21), $Q=20 \text{ l/min}$ (20) results over $d=12$ (24) $\Delta p=0,21 \text{ bar/m}$ (23).

Solution for 4b $d=20 \text{ mm}$ (18), $v=36 \text{ mm}^2/\text{s}$ (19), $Q=100 \text{ l/min}$ (20) "red filled", d.h., the flow is turbulent. $v=36 \text{ mm}^2/\text{s}$ (22), $Q=100 \text{ l/min}$ (20) results under $d=20$ (25) $\Delta p=0,27 \text{ bar/m}$ (26).

By taking into account Q (20), then a or b can be expected.

5. Flow velocity in pipes, scale (27) to (29)

- Given: $d=20 \text{ mm}$ (27)
 $Q=100 \text{ l/min}$ (29)
Searched: $w=5,3 \text{ m/s}$ (28)

FORMULAS

Hydraulic motors (1) to (4)

$$M = 1,59 \cdot V \cdot p \cdot \eta_{hm\%} \cdot 10^{-4}$$

$$V = 6,28 \cdot \frac{M}{p \cdot \eta_{hm\%}} \cdot 10^3$$

From (4) to (7)

Pumps

Flow rate Q

$$Q = V \cdot n \cdot \eta_v\% \cdot 10^{-3}$$

Displacement volume

$$V = \frac{Q}{n \cdot \eta_v\%} \cdot 10^3$$

Form (29) to (32)

Power requirement

$$P = \frac{Q \cdot p}{6 \cdot \eta_t\%} \text{ kW}$$

Motors

Flow rate Q

$$Q = \frac{V \cdot n}{\eta_v\%} \cdot 10^{-1}$$

Displacement volume

$$V = \frac{Q \cdot \eta_v\%}{n} \cdot 10$$

$$n = \frac{Q \cdot \eta_v\%}{V} \cdot 10$$

Form (8) to (17) hydraulic cylinders

$$A = \frac{\pi \cdot d^2}{4} \cdot 10^{-2}$$

$$p_{th} = \frac{F}{A} \cdot 10^2$$

$$A = \frac{\pi \cdot (d^2 - d_1^2)}{4} \cdot 10^{-2}$$

$$p = \frac{p_{th}}{\eta_{hm\%}} \cdot 10^2$$

* d_1 - piston rod diameter in mm

$$V = A \cdot H \cdot 10^{-4}$$

$$Q = A \cdot v \cdot 10^{-1}$$

$$Q = \frac{V}{t} \cdot 60$$

From (18) to (26) pressure losses in pipes

$$\Delta p = \lambda \cdot \frac{l \cdot \gamma}{d \cdot 2g} \cdot w^2 \cdot 10^2 \text{ bar}$$

$$\gamma=0,9 \text{ g/cm}^3$$

$$\lambda_{laminar} = \frac{64}{Re} \quad \lambda_{turbulent} = \frac{0,316}{\sqrt[4]{Re}}$$

$$g=9,81 \text{ m/s}^2$$

$$Re = \frac{w \cdot d}{v} \cdot 10^3$$

$$l \text{ (pipe length) in m}$$

$$v \text{ in mm}^2/\text{s}$$

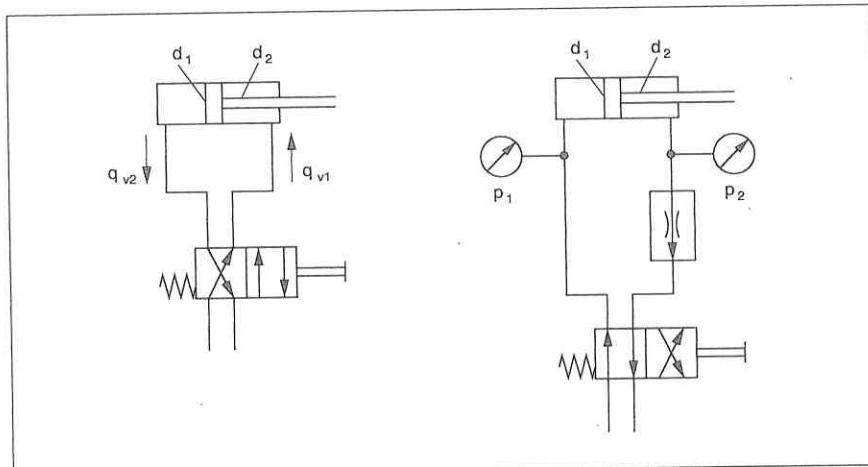
From (27) to (29) Flow velocity in pipes

$$w = \frac{Q}{6 \cdot d^2 \cdot \frac{\pi}{4}} \cdot 10^2$$

Remark: η in all formulas in %.

5. Druck- und Volumenstromübersetzung

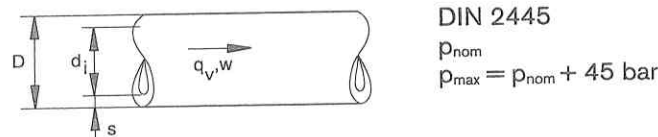
Bei der Dimensionierung von Leistungen und Verbindungen ist nicht nur der Volumenstrom der Pumpe und der Betriebsdruck zu berücksichtigen, sondern es sind auch die Auswirkungen von Druck- und Volumenstromübersetzungen zu beachten.



6. Rohre

Für starre Verbindungen bei unterschiedlichen Leitungslängen werden vorwiegend nahtlose Präzisionsstahlrohre nach DIN 2391 eingesetzt. Die zulässigen Drücke in Abhängigkeit vom Außendurchmesser und der Wandstärke sind nach DIN 2445 definiert.

Neben dem Nenndruck wird der maximal anwendbare Druck (Berechnungsdruck) erwähnt. Diesem liegt eine schwellende Belastung von ± 45 bar zugrunde. Der Berstdruck liegt beim 2 ... 3fachen des Nenndruckes.



$p_{nom} = 100 \text{ bar}$ $p_{max} = 145 \text{ bar}$		$p_{nom} = 160 \text{ bar}$ $p_{max} = 205 \text{ bar}$		$p_{nom} = 250 \text{ bar}$ $p_{max} = 295 \text{ bar}$		$p_{nom} = 320 \text{ bar}$ $p_{max} = 365 \text{ bar}$		$p_{nom} = 400 \text{ bar}$ $p_{max} = 445 \text{ bar}$	
D	s	D	s	D	s	D	s	D	s
6	1	6	1	6	1	6	1	6	1,5
8	1	8	1	8	1,5	8	1,5	8	2
10	1	10	1	10	1,5	10	1,5	10	2
12	1	12	1,5	12	2	12	2	12	2,5
16	1,5	16	1,5	16	2	16	2,5	16	3
20	1,5	20	2	20	2,5	20	3	20	4
25	2	25	2,5	25	3	25	4	25	5
30	2,5	30	3	30	4	30	5	30	6
38	3	38	4	38	5	38	6	38	8
50	4	50	5	50	6	50	8	50	10

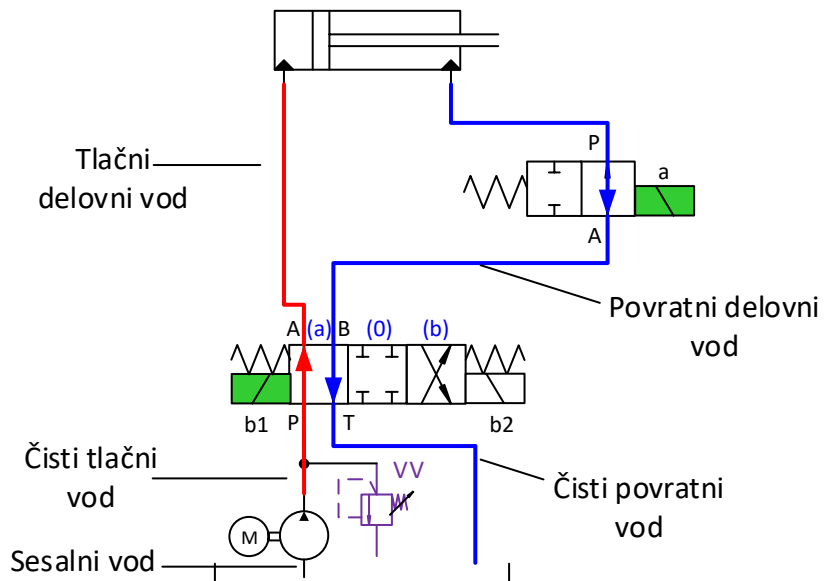
Nach DIN 2445: $p_{max} = p_{nom} + 45 \text{ bar}$

HITROSTI TOKA FLUIDA V CEVEH

Za sprejemljive tlačne izgube ob istočasno ne prevelikih dimenzijah cevovodov je primerno držati se naslednjih priporočil glede hitrosti toka fluida v cevih:

- sesalni vod	$v_s = 0,5 \div 1,5 \text{ m/s}$	
- povratni vod	$v_T = 2 \text{ m/s}$	
- tlačni vod	$p \text{ [bar]}$	$v_p \text{ [m/s]}$
	0...10	3
	10...25	3,5
	25...50	4
	50...100	4,5
	100...150	5
	150...200	5,5
	200...300	6

Primer: hitri gib cilindra naprej.



In der Praxis verlaufen die Zustandsänderungen eher nach adiabatischen Gesetzen. Häufig erfolgt die Aufladung isotherm, die Entladung adiabatisch.

Unter Berücksichtigung der Gleichungen (1) und (2) liegt ΔV bei 50 % bis 70 % des Speicher-Nennvolumens. Als Anhaltspunkt gilt

$$V_0 = 1,5 \dots 3 \times \Delta V \quad (5)$$

Berechnungs-Diagramme

Zur graphischen Bestimmung werden die Formeln (4.1) und (4.2) in Diagramme auf Seite 10 bis 13 umgesetzt. Je nach Aufgabenstellung können das verfügbare Ölvolume, die Speicher-Größe oder die Drücke ermittelt werden.

In most cases, the changes of state tend to follow the adiabatic rather than the isothermal laws. It is often the case that the charge takes place isothermally and the discharge adiabatically.

Considering the equations (1) and (2), ΔV is about 50 % to 70 % of the rated accumulator volume. The following formula can act as a guideline

$$V_0 = 1,5 \dots 3 \times \Delta V \quad (5)$$

Calculation diagrams

The formular (4.1) and (4.2) are converted into diagrams on pages 10 to 13 for graphic evaluation. Depending on the type of problem, the available oil volume, the accumulator size or the pressures can be determined.

Dans la pratique, les transformations d'état suivent plutôt les lois adiabatiques. Le gonflage se déroule souvent de façon isothermique, la restitution de façon adiabatique.

Si l'on tient compte des équations (1) et (2), ΔV représente 50 % à 70 % du volume nominal de l'accumulateur. L'équation suivante sert de point de repère.

$$V_0 = 1,5 \dots 3 \times \Delta V \quad (5)$$

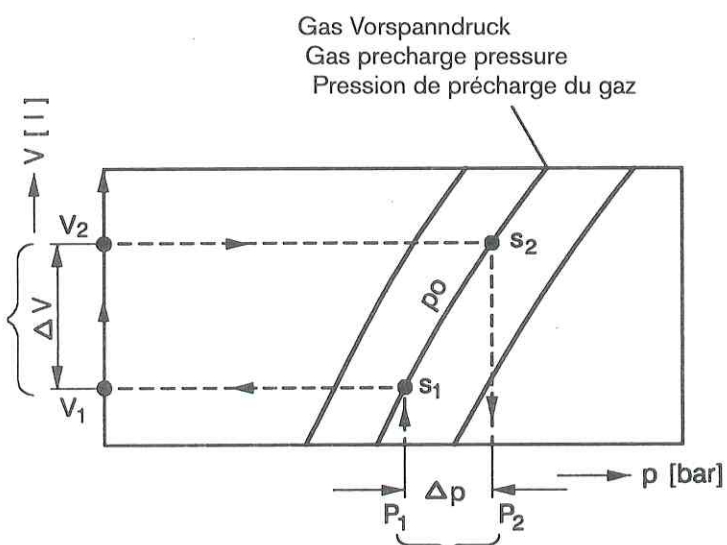
Abaques

Pour permettre un calcul graphique, les formules (4.1) et (4.2) sont transformées en abaques que vous trouverez aux pages 10 à 13. Selon la position des différents paramètres, il est possible de déterminer le volume d'huile disponible, la taille de l'accumulateur ou les pressions.

Anwendung der Berechnungsdiagramme

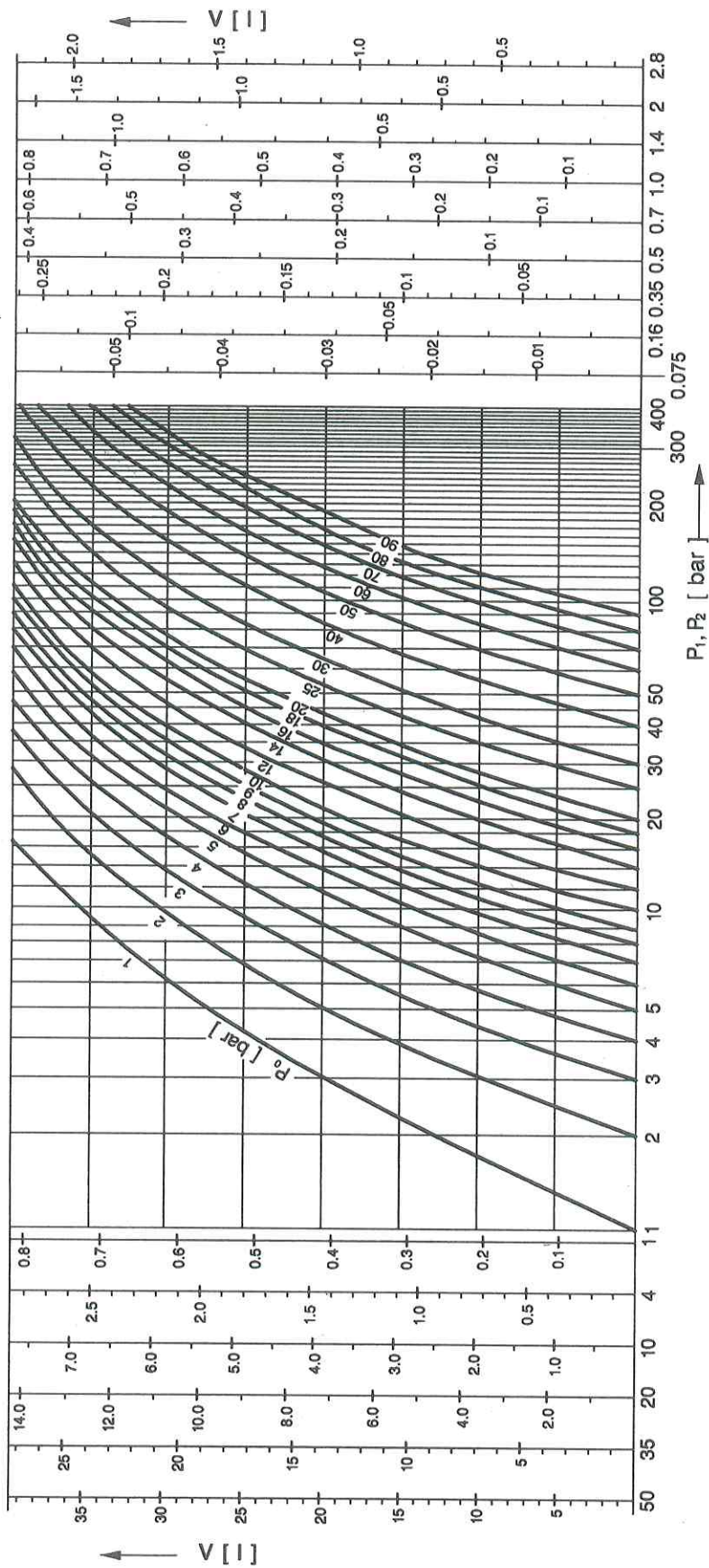
How to use the calculation diagrams
Utilisation des abaques

Verfügbares Ölvolume
Available oil volume
Volume d'huile disponible



Arbeitsdruck-Bereich
Working pressure range
Plage de pression de travail

Adiabatische Zustandsänderungen $p_o = 1 \dots 90$ bar
 Adiabatic changes of state
 Transformations adiabatiques



Speicher-Nenngröße [l]
 Nominal size [l]
 Capacité nominale [l]

Speicher-Nenngröße [l]
 Nominal size [l]
 Capacité nominale [l]

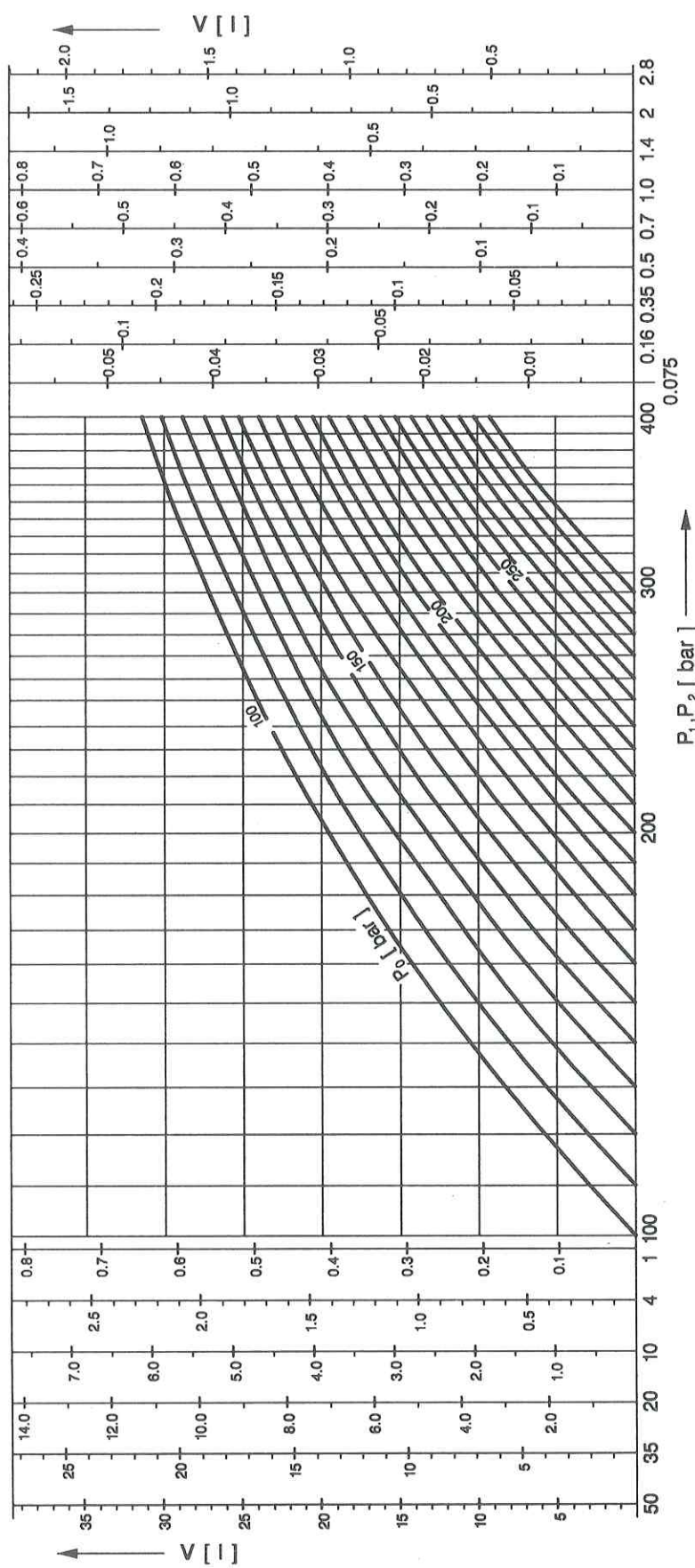
Blasenspeicher
 Bladder-type accumulators
 Accumulateurs à vessie

Membranspeicher
 Diaphragm-type accumulators
 Accumulateurs à membrane

Adiabatische Zustandsänderungen

Adiabatic changes of state

Transformations adiabatiques

 $p_o = 100 \dots 300 \text{ bar}$ 

Speicher-Nenngröße []
Nominal size []
Capacité nominale []

Membranspeicher
Diaphragm-type accumulators
Accumulateurs à membrane

Speicher-Nenngröße []
Nominal size []
Capacité nominale []

Blasenspeicher
Bladder-type accumulators
Accumulateurs à vessie